

Министерство образования и науки Российской Федерации
Федеральное государственное автономное образовательное учреждение высшего
образования

САНКТ-ПЕТЕРБУРГСКИЙ НАЦИОНАЛЬНЫЙ ИССЛЕДОВАТЕЛЬСКИЙ
УНИВЕРСИТЕТ ИНФОРМАЦИОННЫХ ТЕХНОЛОГИЙ,
МЕХАНИКИ И ОПТИКИ

Кафедра систем управления и информатики

Отчет по лабораторной работе №1
«НАЗВАНИЕ РАБОТЫ»
по дисциплине «Название дисциплины»

Выполнили: студенты гр. Р4135
Фамилия И.О.,
Фамилия И.О.

Преподаватель: Фамилия И.О.,
должность каф. СУиИ

Санкт-Петербург

2017

Содержание

Обозначения и сокращения	3
Введение	5
1 Описание манипулятора	6
2 Математическая модель манипулятора	8
2.1 Кинематика манипулятора	8
2.1.1 Общие замечания	8
2.1.2 Прямая задача кинематики	10
2.1.3 Обратная задача кинематики	12
3 Синтез систем управления	15
Заключение	16
Список использованных источников	17
Приложение А Терминология относительных измерений	18
Приложение Б Матрицы однородного преобразования	20

Подп. и дата		Инв. № дубл.		Взам. инв. №		Подп. и дата		Приложение А Терминология относительных измерений	18	
Подп. и дата		Инв. № дубл.		Взам. инв. №		Подп. и дата		Приложение Б Матрицы однородного преобразования	20	
Изм.	Лист	№ докум.	Подп.	Дата	КСУИ.101.4135.001 ПЗ					
Разраб.	Антонов, Артемов				Разработка системы управления для манипулятора Kuka Youbot Пояснительная записка			Лит.	Лист	Листов
Пров.	Котельников Ю.П.								2	21
Н. контр.								Университет ИТМО Кафедра СУиИ гр. Р4135		
Утв.										

Обозначения и сокращения

Используемые далее по тексту общие обозначения:

СК — система координат;

КП — кинематическая пара;

ДХ — Денавита-Хартенберга (Denavit–Hartenberg), например, соглашение;

ИСО — инерциальная система отсчета;

ПЗК — прямая задача кинематики;

ОЗК — обратная задача кинематики;

q_i — i -ая ($i = \overline{1, n}$) обобщенная координата манипулятора (угол, регистрируемый энкодером робота в i -ом сочленении);

n — количество звеньев робота, $n = 5$;

${}^i R_j$ — матрица поворота, характеризующая поворот СК $Ox_j y_j z_j$ относительно СК $Ox_i y_i z_i$;

${}^i A_j$ — матрица однородных преобразований, описывающая смещение и поворот СК $Ox_j y_j z_j$ относительно СК $Ox_i y_i z_i$;

$r_{j,k}^i$ — вектор из начала $Ox_j y_j z_j$ в начало $Ox_k y_k z_k$, выраженный относительно $Ox_i y_i z_i^*$;

g_i — ускорение свободного падения, выраженное относительно $Ox_i y_i z_i$;

V_j^i — линейная скорость начала $Ox_j y_j z_j$ относительно используемой в решении ИСО, выраженная относительно $Ox_i y_i z_i$;

a_j^i — линейное ускорение начала $Ox_j y_j z_j$ относительно ИСО, выраженное относительно $Ox_i y_i z_i$;

ω_j^i — угловая скорость вращения $Ox_j y_j z_j$ относительно ИСО, выраженная относительно $Ox_i y_i z_i$;

* За пояснениями применяемой здесь и далее терминологии обратитесь к Приложению А.

Инв. № подл.	Подп. и дата	Взам. инв. №	Инв. № дубл.	Подп. и дата	КСУИ.101.4135.001 ПЗ					Лист	
Изм.	Лист	№ докум.	Подп.	Дата						3	

$\omega_{j,k}^i$ — угловая скорость вращения $Ox_k y_k z_k$ относительно $Ox_j y_j z_j$, выраженная относительно $Ox_i y_i z_i$;

$\dot{\omega}_j^i$ — угловое ускорение $Ox_j y_j z_j$ относительно ИСО, выраженное относительно $Ox_i y_i z_i$;

z_j^i — орт $[0 \ 0 \ 1]^T$ системы координат $Ox_j y_j z_j$, выраженный относительно $Ox_i y_i z_i$;

f_j^i — сила, действующая на j -ое звено (тело) механизма со стороны $(j - 1)$ -го звена (тела), выраженная относительно $Ox_i y_i z_i$;

τ_j^i — момент силы, действующий на j -ое звено (тело) механизма со стороны $(j - 1)$ -го звена (тела), выраженный относительно $Ox_i y_i z_i$;

τ_i — обобщенный момент, ответственный за изменение обобщенной координаты q_i ;

m_i — масса i -го звена;

\mathcal{I}_j^i — тензор инерции j -го звена, выраженный относительно жестко связанной с его центром масс системой координат, сонаправленной с $Ox_i y_i z_i$;

a_i, d_i — обозначения для длин, входящих в число параметров Денавита-Хартенберга, $i = \overline{1, n}$;

α_i, θ_i — обозначения для углов, входящих в число параметров Денавита-Хартенберга, $i = \overline{1, n}$;

s_γ, c_γ — синус и косинус угла γ соответственно.

Инв. № подл.	Подп. и дата		Взам. инв. №		Инв. № дубл.		Подп. и дата	
<p>ной с его центром масс системой координат, сонаправленной с Ox_iy_izi;</p> <p>a_i, d_i — обозначения для длин, входящих в число параметров Денавита-Хартенберга, $i = \overline{1, n}$;</p> <p>α_i, θ_i — обозначения для углов, входящих в число параметров Денавита-Хартенберга, $i = \overline{1, n}$;</p> <p>s_γ, c_γ — синус и косинус угла γ соответственно.</p>								
					КСУИ.101.4135.001 ПЗ			
Изм.	Лист	№ докум.	Подп.	Дата	Лист			
					4			

Введение

В данном документе будет рассказано о процессе разработки системы управления для манипулятора робота Kuka Youbot [1], дающей ему возможность для совершения двух действий: занятия позиции, при которой его схват будет принимать заданные положение и ориентацию, а также перемещения схвата по заданной траектории^{*}. В целом содержание пояснительной записки можно описать примерно так:

- в разделе 1 будут приведены технические сведения о роботе, необходимые для решения поставленных задач;
- раздел 2 расскажет о процессе составления математической модели манипулятора, а именно о решении применительно к нему прямой и обратной задач кинематики и о составлении дифференциальных уравнений, описывающих протекающие в роботе электрические и механические процессы;
- в разделе 3 речь пойдет о синтезе соответствующих систем управления, о проверке их работоспособности с помощью моделирования, о результатах апробации на реальном роботе и проч.

^{*} Здесь и далее, когда речь будет идти о траектории движения схвата, под последней будет подразумеваться не просто кривая, описываемая при этом схватом в пространстве, но таковая, явно параметризованная временем.

Инов. № подл.	Подп. и дата	Взам. инв. №	Инов. № дубл.	Подп. и дата
Изм.	Лист	№ докум.	Подп.	Дата
КСУИ.101.4135.001 ПЗ				
				Лист
				5

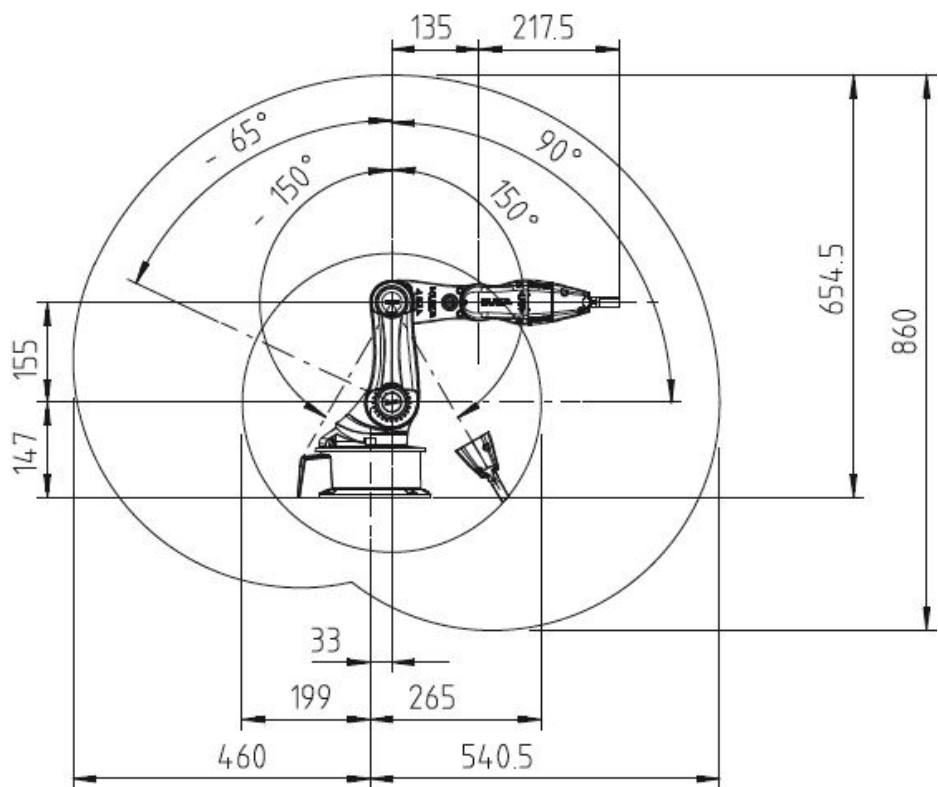
1 Описание манипулятора

Рассматриваемый в данной работе манипулятор робота Kuka Youbot представляет собой пятизвенный манипулятор, снабженный двухпальцевым схватом. Описание его массогабаритных параметров дается таблицей 1.1 и рисунком 1.1. Неуказанные там параметры робота, требуемые для дальнейших расчетов, неизвестны и поэтому подлежат измерению или идентификации, речь о которых пойдет ниже по тексту.

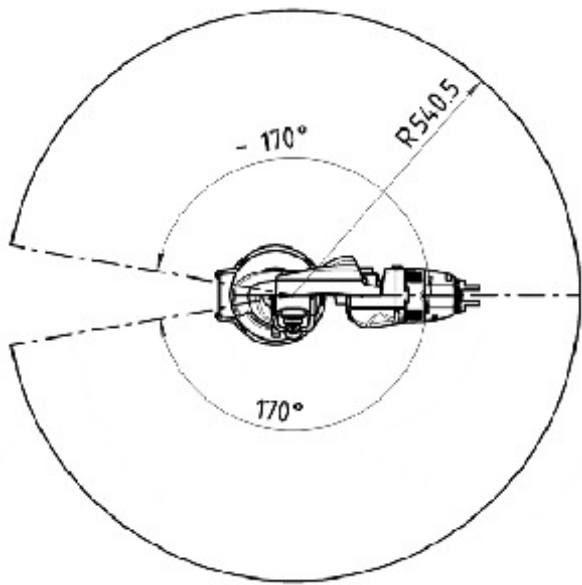
Таблица 1.1 – Общая информация о манипуляторе робота Kuka Youbot.

Параметр	Значение
Количество сочленений	5
Масса	5.3 кг
Допустимая нагрузка	0.5 кг
Точность повторного воспроизведения позиции	1 мм
Максимальная скорость в сочленении	90° с ⁻¹
Интерфейс	EtherCAT
Напряжение питание	24 В

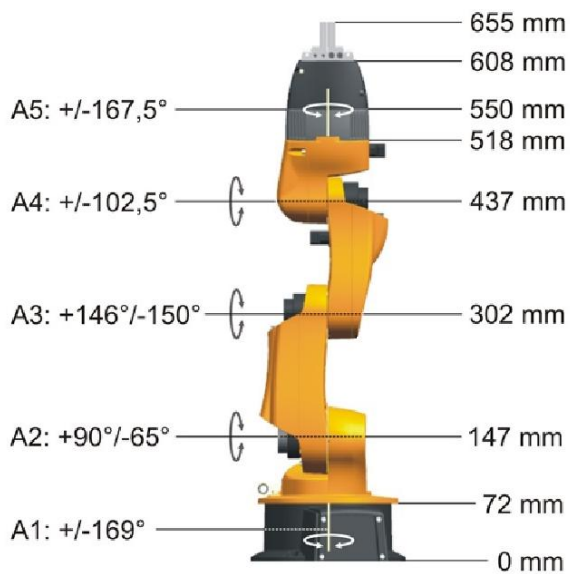
Инов. № подл.	Подп. и дата	Взам. инв. №	Инов. № дубл.	Подп. и дата



а)



б)



в)

Рисунок 1.1 – Некоторые параметры манипулятора Kuka Youbot: а — размеры рабочей области (вид сбоку); б — размеры рабочей области (вид сверху); в — длины звеньев и предельные значения для углов вращения по каждому из сочленений [2].

Инов. № подл.	Подп. и дата	Взам. инв. №	Инов. № дубл.	Подп. и дата

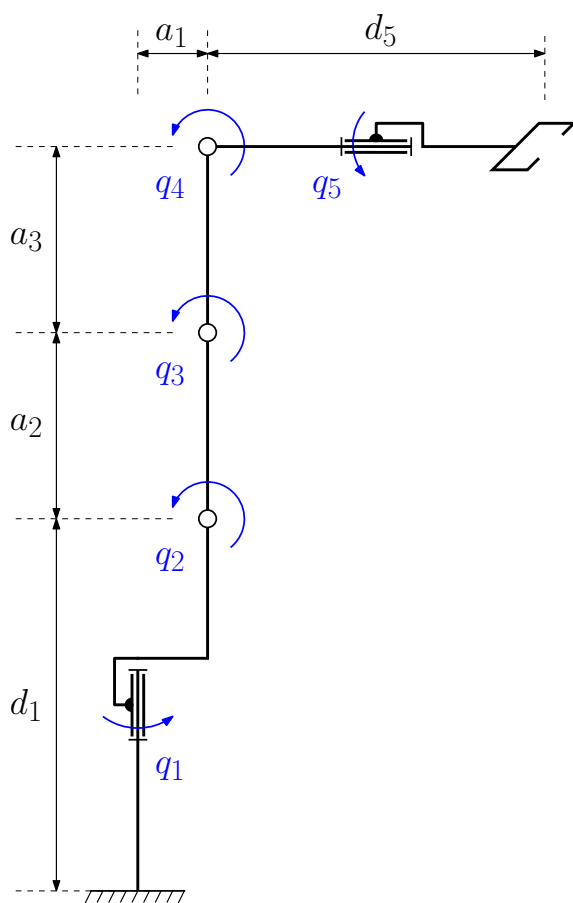
Изм.	Лист	№ докум.	Подп.	Дата

2 Математическая модель манипулятора

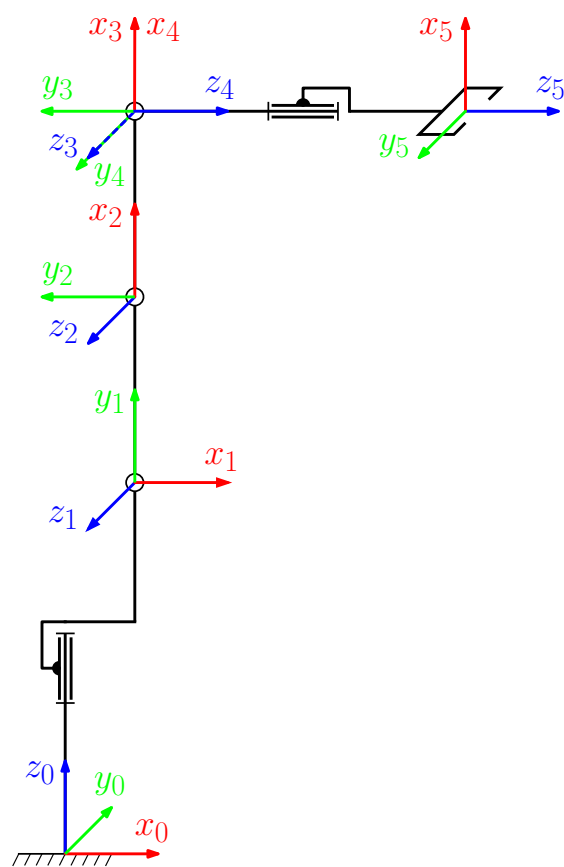
2.1 Кинематика манипулятора

2.1.1 Общие замечания

Последовательная кинематическая цепь рассматриваемого манипулятора, включающая только вращательные КП V-класса (цилиндрические шарниры), изображена на рисунке 2.1а.



а)



б)

Рисунок 2.1 – Схемы рассматриваемого манипулятора: а — кинематическая при $q_i = 0$, $i = \overline{1, 5}$; б — расположения СК КП.

Для описания положений звеньев манипулятора друг относительно друга воспользуемся методом Денавита–Хартенберга, состоящим из трех данных шагов:

Инв. № подл.	Подп. и дата
Взам. инв. №	Инв. № дубл.
Подп. и дата	Подп. и дата
Инв. № подл.	Подп. и дата

Изм.	Лист	№ докум.	Подп.	Дата
------	------	----------	-------	------

а) «привязка» к каждому звену СК, чьи оси удовлетворяют следующим условиям:

- 1) ось z_{i-1} направлена вдоль оси i -ой КП;
- 2) ось x_i перпендикулярна оси z_{i-1} и пересекает ее;
- 3) ось y_i дополняет оси z_i и x_i до правой декартовой СК.

б) определение параметров ДХ:

- 1) a_i — расстояния от z_{i-1} до z_i вдоль x_i ;
- 2) α_i — угла от z_{i-1} до z_i вокруг x_i ;
- 3) d_i — расстояния от x_{i-1} до x_i вдоль z_{i-1} ;
- 4) θ_i — угла от x_{i-1} до x_i вокруг z_{i-1} .

в) расчет однородных матриц преобразования* в соответствии со следующими формулами:

$${}^{i-1}A_i = R_{z,\theta_i} \cdot T_{z,d_i} \cdot T_{x,a_i} \cdot R_{x,\alpha_i} \quad (2.1)$$

где R_{z,θ_i} — матрица поворота вокруг оси z на угол θ_i , T_{z,d_i} — матрица смещения вдоль оси z на расстояние d , T_{x,a_i} — матрица смещения вдоль оси x на расстояние a_i , R_{x,α_i} — матрица поворота вокруг оси x на угол α_i , равные

$$R_{z,\theta_i} = \begin{bmatrix} \cos \theta_i & -\sin \theta_i & 0 & 0 \\ \sin \theta_i & \cos \theta_i & 0 & 0 \\ 0 & 0 & 1 & 0 \\ 0 & 0 & 0 & 1 \end{bmatrix}, \quad T_{z,d_i} = \begin{bmatrix} 1 & 0 & 0 & 0 \\ 0 & 1 & 0 & 0 \\ 0 & 0 & 1 & d_i \\ 0 & 0 & 0 & 1 \end{bmatrix}, \quad (2.2)$$

$$T_{x,a_i} = \begin{bmatrix} 1 & 0 & 0 & a_i \\ 0 & 1 & 0 & 0 \\ 0 & 0 & 1 & 0 \\ 0 & 0 & 0 & 1 \end{bmatrix}, \quad R_{x,\alpha_i} = \begin{bmatrix} 1 & 0 & 0 & 0 \\ 0 & \cos \alpha_i & -\sin \alpha_i & 0 \\ 0 & \sin \alpha_i & \cos \alpha_i & 0 \\ 0 & 0 & 0 & 1 \end{bmatrix}; \quad (2.3)$$

* За пояснениями обратитесь к Приложению Б

Инов. № подл.	Подп. и дата	Взам. инв. №	Инов. № дубл.	Подп. и дата
Изм.	Лист	№ докум.	Подп.	Дата
КСУИ.101.4135.001 ПЗ				Лист
				9

$${}^{i-1}A_i = \begin{bmatrix} \cos \theta_i & -\cos \alpha_i \sin \theta_i & \sin \alpha_i \sin \theta_i & a_i \cos \theta_i \\ \sin \theta_i & \cos \alpha_i \cos \theta_i & -\sin \alpha_i \cos \theta_i & a_i \sin \theta_i \\ 0 & \sin \alpha_i & \cos \alpha_i & d_i \\ 0 & 0 & 0 & 1 \end{bmatrix} \quad (2.4)$$
$${}^0A_1 = \begin{bmatrix} c_{\theta_1} & 0 & s_{\theta_1} & a_1 c_{\theta_1} \\ s_{\theta_1} & 0 & -c_{\theta_1} & a_1 s_{\theta_1} \\ 0 & 1 & 0 & d_1 \\ 0 & 0 & 0 & 1 \end{bmatrix}; {}^1A_2 = \begin{bmatrix} c_{\theta_2} & -s_{\theta_2} & 0 & a_2 c_{\theta_2} \\ s_{\theta_2} & c_{\theta_2} & 0 & a_2 s_{\theta_2} \\ 0 & 0 & 1 & 0 \\ 0 & 0 & 0 & 1 \end{bmatrix}; {}^2A_3 = \begin{bmatrix} c_{\theta_3} & -s_{\theta_3} & 0 & a_3 c_{\theta_3} \\ s_{\theta_3} & c_{\theta_3} & 0 & a_3 s_{\theta_3} \\ 0 & 0 & 1 & 0 \\ 0 & 0 & 0 & 1 \end{bmatrix};$$

$${}^3A_4 = \begin{bmatrix} c_{\theta_4} & 0 & s_{\theta_4} & 0 \\ s_{\theta_4} & 0 & -c_{\theta_4} & 0 \\ 0 & 1 & 0 & 0 \\ 0 & 0 & 0 & 1 \end{bmatrix}; {}^4A_5 = \begin{bmatrix} c_{\theta_5} & -s_{\theta_5} & 0 & 0 \\ s_{\theta_5} & c_{\theta_5} & 0 & 0 \\ 0 & 0 & 1 & d_5 \\ 0 & 0 & 0 & 1 \end{bmatrix}. \quad (2.5)$$

Звено	a_i , мм	α_i , рад	d_i , мм	θ_i , рад
1	33	$\pi/2$	147	q_1
2	155	0	0	$q_2 + \pi/2$
3	135	0	0	q_3
4	0	$\pi/2$	0	q_4
5	0	0	218	q_5

Информация о смещении и повороте СК $Ox_5y_5z_5$ относительно СК $Ox_0y_0z_0$ содержится в матрице 0A_5 . Следовательно, для того чтобы решить ПЗК, оста-

ется лишь найти эту матрицу в соответствии с формулой:

$${}^0A_5 = \prod_{i=1}^5 {}^{i-1}A_i(q_i). \quad (2.6)$$

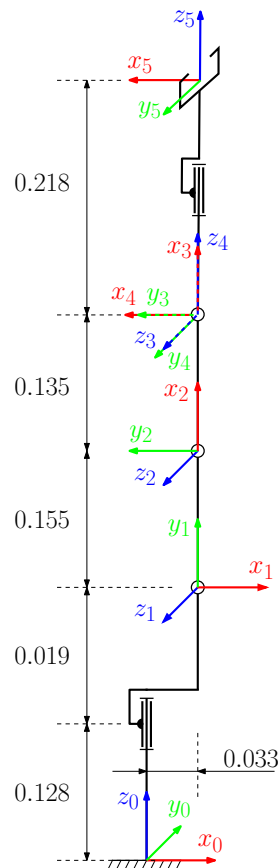


Рисунок 2.2 – Конфигурация манипулятора при $q = [q_1, q_2, q_3, q_4, q_5] = [0, 0, 0, \pi/2, 0]$.

Для проверки рассмотрим конфигурацию манипулятора, изображенную на рисунке 2.2. В результате решения для нее ПЗК должны получиться следующие матрица поворота и вектор смещения :

$${}^0R_5 = \begin{bmatrix} -1 & 0 & 0 \\ 0 & -1 & 0 \\ 0 & 0 & 1 \end{bmatrix}, \quad r_{0,5}^0 = \begin{bmatrix} 0.033 \\ 0 \\ 0.655 \end{bmatrix}. \quad (2.7)$$

Инов. № подл.	Подп. и дата	Взам. инв. №	Инов. № дубл.	Подп. и дата
Изм.	Лист	№ докум.	Подп.	Дата
КСУИ.101.4135.001 ПЗ				
Лист				
11				

$${}^2T_6 = \begin{bmatrix} r_{11}c_1 + r_{21}s_1 & r_{12}c_1 + r_{22}s_1 & r_{13}c_1 + r_{23}s_1 & -a_2 + p^xc_1 + p^ys_1 \\ r_{31} & r_{32} & r_{33} & -d_1 - d_2 + p^z \\ r_{11}s_1 - r_{21}c_1 & r_{12}s_1 - r_{22}c_1 & r_{13}s_1 - r_{23}c_1 & p^xs_1 - p^yc_1 \\ 0 & 0 & 0 & 1 \end{bmatrix},$$
$${}^2A_6 = \begin{bmatrix} c_5 c_{234} & -s_5 c_{234} & s_{234} & a_3 c_2 + a_4 c_{23} + d_6 s_{234} \\ s_{234} c_5 & -s_5 s_{234} & -c_{234} & a_3 s_2 + a_4 s_{23} - d_6 c_{234} \\ s_5 & c_5 & 0 & 0 \\ 0 & 0 & 0 & 1 \end{bmatrix}.$$

Из равенства элементов $(3, 4)$:

$$p^x s_1 - p^y c_1 = 0 \quad (2.12)$$

$$\theta_1 = \text{Atan2}(p^y, p^x) \quad (2.13)$$
$$s_5 = r_{11}s_1 - r_{21}c_1,$$

$$C_5 = r_{12}S_1 - r_{22}C_1$$

$$\theta_5 = \text{Atan2}(r_{11}s_1 - r_{21}c_1, r_{12}s_1 - r_{22}c_1) \quad (2.14)$$
$$c_{234} = -r_{33},$$

$$s_{234} = r_{13}c_1 + r_{23}s_1$$

$$\theta_{234} = \text{Atan2}(r_{13}c_1 + r_{23}s_1, -r_{33}) \quad (2.15)$$

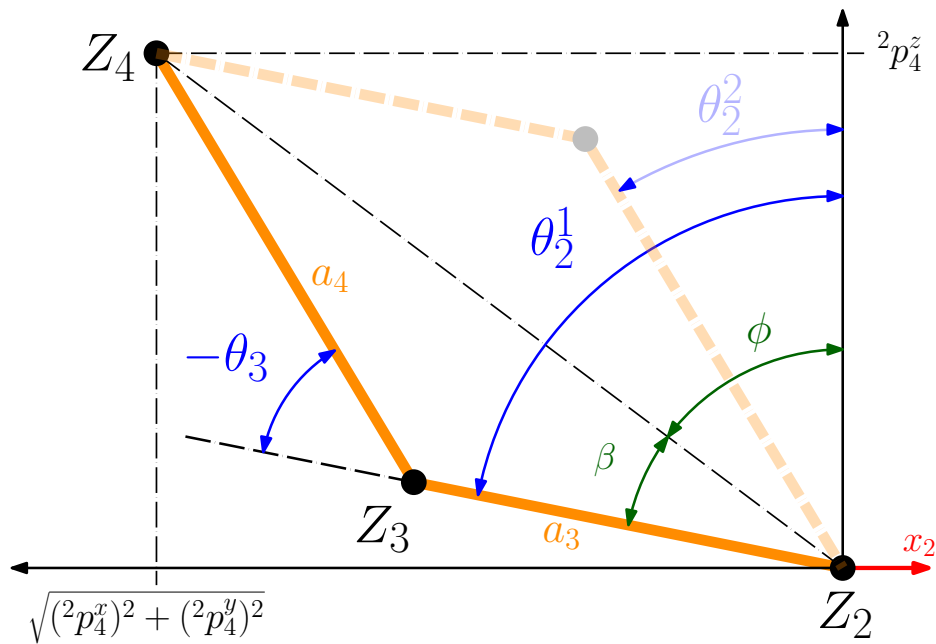


Рисунок 2.3 – Плоская часть манипулятора

Далее применим геометрический подход.

Выпишем, пользуясь теоремой косинусов, выражения для θ_3 :

$$\cos \theta_3 = \frac{({}^2p_4^x)^2 + ({}^2p_4^y)^2 + ({}^2p_4^z)^2 - a_3^2 - a_4^2}{2a_3a_4} \quad (2.16)$$

$$\theta_3^{1,2} = \mp \text{Atan2}(\sqrt{1 - \cos^2 \theta_3}, \cos \theta_3) \quad (2.17)$$

Из рисунка 2.3 видно, что, при $\theta_3 < 0$, $\theta_2 = \phi + \beta$:

$$\theta_2^1 = \text{Atan2}(\sqrt{({}^2p_4^x)^2 + ({}^2p_4^y)^2}, {}^2p_4^z) + \text{Atan2}(a_4 \sin \theta_3^1, a_3 + a_4 \cos \theta_3^1) \quad (2.18)$$

При $\theta_3 > 0$, $\theta_2 = \phi - \beta$:

$$\theta_2^2 = \text{Atan2}(\sqrt{({}^2p_4^x)^2 + ({}^2p_4^y)^2}, {}^2p_4^z) - \text{Atan2}(a_4 \sin \theta_3^2, a_3 + a_4 \cos \theta_3^2) \quad (2.19)$$

И, наконец:

$$\theta_4^{1,2} = \theta_{234} - \theta_2^{1,2} - \theta_3^{1,2} \quad (2.20)$$

Инв. № подл.	Подп. и дата	Взам. инв. №	Инв. № дубл.	Подп. и дата	$\cos \theta_3 = \frac{({}^z p_4^x)^z + ({}^z p_4^y)^z + ({}^z p_4^z)^z - a_3^z - a_3^z}{2a_3a_4}$
					$\theta_3^{1,2} = \mp Atan2(\sqrt{1 - \cos^2 \theta_3}, \cos \theta_3)$
					Из рисунка 2.3 видно, что, при $\theta_3 < 0$, $\theta_2 = \phi + \beta$:
					$\theta_2^1 = Atan2(\sqrt{({}^2 p_4^x)^2 + ({}^2 p_4^y)^2}, {}^2 p_4^z) + Atan2(a_4 \sin \theta_3^1, a_3 + a_4 \cos \theta_3^1)$
Инв. № подл.	Подп. и дата	Взам. инв. №	Инв. № дубл.	Подп. и дата	При $\theta_3 > 0$, $\theta_2 = \phi - \beta$:
					$\theta_2^2 = Atan2(\sqrt{({}^2 p_4^x)^2 + ({}^2 p_4^y)^2}, {}^2 p_4^z) - Atan2(a_4 \sin \theta_3^2, a_3 + a_4 \cos \theta_3^2)$
					И, наконец:
					$\theta_4^{1,2} = \theta_{234} - \theta_2^{1,2} - \theta_3^{1,2}$
					КСУИ.101.4135.001 ПЗ
Изм.	Лист	№ докум.	Подп.	Дата	Лист
					14

3 Синтез систем управления

Инв. № подл.	Подп. и дата	Взам. инв. №	Инв. № дубл.	Подп. и дата

Изм.	Лист	№ докум.	Подп.	Дата

КСУИ.101.4135.001 ПЗ					Лист
					15

Заключение

Текст заключения

Инов. № подл.	Подп. и дата	Взам. инв. №	Инов. № дубл.	Подп. и дата

Изм.	Лист	№ докум.	Подп.	Дата	КСУИ.101.4135.001 ПЗ	Лист
						16

Список использованных источников

- 1 KUKA YUBOT. — URL: <http://www.technomatix.ru/kuka-youbot> (дата обращения: 08.03.2017).
- 2 YouBot Detailed Specifications. — URL: http://www.youbot-store.com/wiki/index.php/YouBot_Detailed_Specifications (дата обращения: 04.04.2017).

Инв. № подл.	Подп. и дата	Взам. инв. №	Инв. № дубл.	Подп. и дата	КСУИ.101.4135.001 ПЗ					Лист
										17
Изм.	Лист	№ докум.	Подп.	Дата						

Приложение А
(рекомендуемое)

Терминология относительных измерений

Относительно координат некоторых векторов, являющихся в большинстве своем некоторыми кинематическими величинами, в тексте документа можно встретить указания на то, что они получены (или отсчитаны) «...относительно такой-то системы координат...» и при этом «...выражены относительно такой-то системы координат...». Это приложение разъясняет смысл данных фраз нижеследующим простым примером.

Рассмотрим рисунок А.1. На нем изображены стоящий неподвижно куст, тележка, катящаяся со скоростью $v = 1$ м/с, облако, движущееся со скоростью $u = 3$ м/с, и жестко связанные с ними правосторонние системы координат $Ox_0y_0z_0$, $Ox_1y_1z_1$ и $Ox_2y_2z_2$. Опишем скорость движения облака вектором \vec{V} . В зависимости от своего физического смысла он будет иметь разные координаты. Наглядно это демонстрирует таблица А.1.

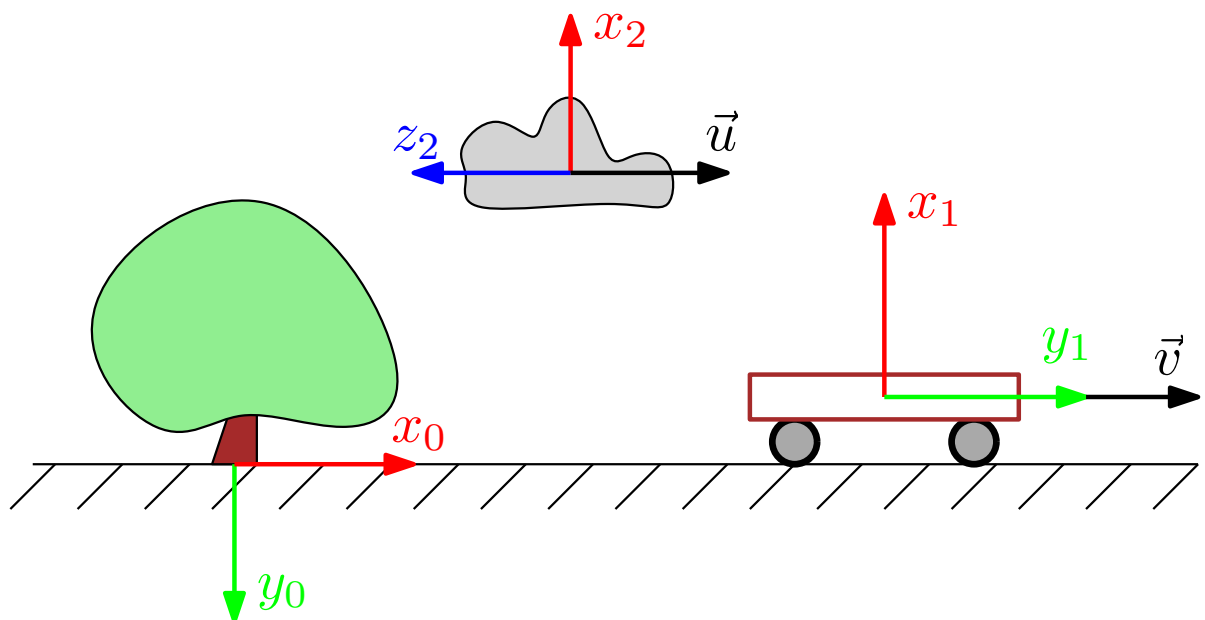


Рисунок А.1 – Воображаемая ситуация из пояснительного примера.

Подп. и дата		Инв. № дубл.		Взам. инв. №		Подп. и дата		Инв. № подл.	
Изм.	Лист	№ докум.	Подп.	Дата	КСУИ.101.4135.001 ПЗ				Лист
									18

Таблица А.1 – Координаты вектора V в зависимости от его физического смысла.

Смысл вектора V	Значение V^T
Скорость $Ox_2y_2z_2$ относительно $Ox_0y_0z_0$, выраженная относительно $Ox_0y_0z_0$	$\begin{bmatrix} 3 & 0 & 0 \end{bmatrix}$
Скорость $Ox_2y_2z_2$ относительно $Ox_0y_0z_0$, выраженная относительно $Ox_1y_1z_1$	$\begin{bmatrix} 0 & 3 & 0 \end{bmatrix}$
Скорость $Ox_2y_2z_2$ относительно $Ox_0y_0z_0$, выраженная относительно $Ox_2y_2z_2$	$\begin{bmatrix} 0 & 0 & -3 \end{bmatrix}$
Скорость $Ox_2y_2z_2$ относительно $Ox_1y_1z_1$, выраженная относительно $Ox_0y_0z_0$	$\begin{bmatrix} 2 & 0 & 0 \end{bmatrix}$
Скорость $Ox_2y_2z_2$ относительно $Ox_1y_1z_1$, выраженная относительно $Ox_1y_1z_1$	$\begin{bmatrix} 0 & 2 & 0 \end{bmatrix}$
Скорость $Ox_2y_2z_2$ относительно $Ox_1y_1z_1$, выраженная относительно $Ox_2y_2z_2$	$\begin{bmatrix} 0 & 0 & -2 \end{bmatrix}$

Инов. № подл.	Подп. и дата	Взам. инв. №	Инов. № дубл.	Подп. и дата

Изм.	Лист	№ докум.	Подп.	Дата

Приложение Б
(рекомендуемое)

Матрицы однородного преобразования

Матрицей однородного преобразования ${}^i A_j$ называется матрица размера 4×4 , служащая для описания смещения и поворота СК $Ox_j y_j z_j$ относительно СК $Ox_i y_i z_i$ и имеющая следующую структуру:

$${}^i A_j = \begin{bmatrix} {}^i R_j & r_{i,j}^i \\ O_{1 \times 3} & 1 \end{bmatrix}, \quad (\text{Б.1})$$

где $O_{1 \times 3} = [0 \ 0 \ 0]$.

Принципы ее использования поясняет следующий пример.

Рассмотрим рисунок Б.1. Чтобы найти координаты точки C относительно $Ox_0 y_0 z_0$ при известных векторах r_C^2 , $r_{0,1}^0$ и $r_{1,2}^1$ и поворотах всех СК друг относительно друга, могут быть использованы следующие выражения:

$$\begin{cases} r_C^0 = {}^0 R_1 r_C^1 + r_{0,1}^0 \\ r_C^1 = {}^1 R_2 r_C^2 + r_{1,2}^1 \end{cases} \Rightarrow r_C^0 = {}^0 R_1 {}^1 R_2 r_C^2 + {}^0 R_1 r_{1,2}^1 + r_{0,1}^0 \quad (\text{Б.2})$$

где r_C^0 , r_C^1 , r_C^2 — радиус-векторы точки C в $Ox_0 y_0 z_0$, $Ox_1 y_1 z_1$ и $Ox_2 y_2 z_2$ соответственно. В это же время можно воспользоваться и матрицами ${}^0 A_1$ и ${}^1 A_2$:

$$\begin{aligned} \begin{cases} \begin{bmatrix} r_C^0 \\ 1 \end{bmatrix} &= \underbrace{\begin{bmatrix} {}^0 R_1 & r_{0,1}^0 \\ O_{1 \times 3} & 1 \end{bmatrix}}_{{}^0 A_1} \begin{bmatrix} r_C^1 \\ 1 \end{bmatrix} \\ \begin{bmatrix} r_C^1 \\ 1 \end{bmatrix} &= \underbrace{\begin{bmatrix} {}^1 R_2 & r_{1,2}^1 \\ O_{1 \times 3} & 1 \end{bmatrix}}_{{}^1 A_2} \begin{bmatrix} r_C^2 \\ 1 \end{bmatrix} \end{cases} \Rightarrow \\ \Rightarrow \begin{bmatrix} r_C^0 \\ 1 \end{bmatrix} &= \underbrace{\begin{bmatrix} {}^0 R_1 & r_{0,1}^0 \\ O_{1 \times 3} & 1 \end{bmatrix}}_{{}^0 A_1} \underbrace{\begin{bmatrix} {}^1 R_2 & r_{1,2}^1 \\ O_{1 \times 3} & 1 \end{bmatrix}}_{{}^1 A_2} \begin{bmatrix} r_C^2 \\ 1 \end{bmatrix} = \underbrace{\begin{bmatrix} {}^0 R_1 & r_{0,1}^0 \\ O_{1 \times 3} & 1 \end{bmatrix}}_{{}^0 A_1} \begin{bmatrix} {}^1 R_2 r_C^2 + r_{1,2}^1 \\ 1 \end{bmatrix} = \\ &= \begin{bmatrix} {}^0 R_1 {}^1 R_2 r_C^2 + {}^0 R_1 r_{1,2}^1 + r_{0,1}^0 \\ 1 \end{bmatrix} \quad (\text{Б.3}) \end{aligned}$$

Инов. № подл.	Подп. и дата	Взам. инв. №	Инов. № дубл.	Подп. и дата	КСУИ.101.4135.001 ПЗ					Лист
										20
Изм.	Лист	№ докум.	Подп.	Дата						

